

**ظرفیت باربری پی‌ها در موقعیت‌های مختلف نسبت به زمین شیب‌دار\***مریم حق‌بین<sup>(۱)</sup>

**چکیده** هدف از طراحی پی انتقال بار سازه به خاک زیرین بدون ایجاد گسیختگی برشی و نشست اضافی در خاک می‌باشد. بنابراین انتخاب ظرفیت باربری مناسب نکته مهمی است که در هر پروژه باید بررسی شود. در شرایط خاص پی‌ها در موقعیت‌های مختلف نسبت به زمین شیب‌دار (روی شیب، بالای شیب، پایین شیب) قرار می‌گیرند و موقعیت شیب زمین بر ظرفیت باربری پی تأثیر می‌گذارد. در واقع شیب زمین بر سطح گسیختگی ایجادشده در خاک زیر پی تأثیر قابل توجهی می‌گذارد و در نتیجه توجه به موقعیت پی نسبت به زمین شیب‌دار برای تعیین ظرفیت باربری دقیق پی ضروری است. در مقاله حاضر، روش تحلیلی دیوار حائل مجازی براساس پایداری خاک زیر پی ارائه شده است. همچنین، تأثیر موقعیت‌های مختلف پی نسبت به شیب زمین، فاصله پی نسبت به زمین شیب‌دار و عمق و عرض پی بر ظرفیت باربری پی بررسی شده است. نتایج نشان می‌دهد که در شرایط مختلف پی، به ترتیب ظرفیت باربری پی واقع بر زمین هموار و بالای شیب و پایین شیب و واقع بر شیب بزرگ‌تر می‌باشد. از قابلیت‌های رابطه ارائه شده تعیین تأثیر زاویه شیب و مسلح‌کننده زمین شیب‌دار بر ظرفیت باربری پی می‌باشد. از جمله نتایج تحقیق این است که فاصله مؤثر پی از شیب که بیشتر از آن تأثیر شیب بر ظرفیت باربری از بین می‌رود،  $4/5$  برابر عرض پی است. در نهایت، نتایج به دست آمده با نتایج تحلیلی، آزمایشگاهی و عددی ارائه شده توسط دیگر محققان مقایسه شد و همخوانی قابل قبولی را نشان داد.

**واژه‌های کلیدی** ظرفیت باربری پی، زمین شیب‌دار، ضریب لرزه‌ای، فاصله پی، عمق و عرض پی.

**Bearing Capacity of Strip Footings in various Locations with Respect to Sloping Ground**

M. Haghbin

**Abstract** The purpose of footing design is transferring structure load to soil without causing shear failure and extra settlement in soil. Therefore, footing bearing capacity should be considered in various projects. In special case, footings are placed in various positions with respect to slope ground and position of ground slope affects footing bearing capacity. In fact, slope affects failure surface of soil beneath the foundation remarkably and therefore, footing location with respect to slope must be cared to determine exact footing bearing capacity. In present paper, analytical method is presented based on soil stability beneath the footing. Virtual retaining wall method is used in present study and by applying equilibrium between active and passive forces on virtual wall, footing bearing capacity on reinforced and unreinforced soils is determined in various positions with respect to slope ground. Also, varied parameters include soil resistance, footing spacing with respect to slope ground, width and depth of foundation and seismic coefficient. Results indicate, in various depths and widths of foundation, bearing capacity of footing on flat ground is more than top of slope and bearing capacity of footing top of slope is more than down of slope. Also, bearing capacity of footing on slope is minimum. Based on proposed method, footing location with respect to slope affects passive and active force on virtual retaining wall and footing bearing capacity remarkably. Also, the proposed method can determine effect of slope angle and reinforcement on footing bearing capacity. Presented method indicates effective distance from slope crest is almost 4.5B. Finally, the predicted results are compared with those reported from analytical and experimental methods performed by others, indicating an acceptable agreement.

**Key Words** Footing Bearing Capacity, Slope Ground, Seismic Coefficient, Footing Spacing, Depth and Width of Footing.

\* تاریخ دریافت مقاله ۹۳/۱۲/۱۷ و تاریخ پذیرش آن ۹۵/۳/۱۹ می‌باشد.

Email: haghbin@iiu.ac.ir

(۱) استادیار گروه تخصصی عمران- ژئوتکنیک، دانشگاه آزاد اسلامی، واحد اسلامشهر.



بدون استفاده از ضرایب تجربی اثر شیب زمین، موقعیت‌های مختلف پی نسبت به شیب و مسلح‌کننده را در انواع خاک‌ها ارائه دهد، وجود دارد. به همین دلیل در این تحقیق، روش تحلیلی ساده‌ای برای تعیین ظرفیت باربری پی واقع بر خاک مسلح و غیرمسلح در موقعیت‌های مختلف نسبت به زمین شیب‌دار ارائه شده‌است. همچنین، تأثیر موقعیت‌های مختلف پی نسبت به شیب زمین، فاصله پی نسبت به زمین شیب‌دار و عمق و عرض پی بر ظرفیت باربری پی بررسی می‌شود. در پایان نتایج به دست آمده با نتایج تحلیلی، آزمایشگاهی و عددی ارائه شده توسط دیگر محققان مقایسه می‌شود.

### روش تحقیق

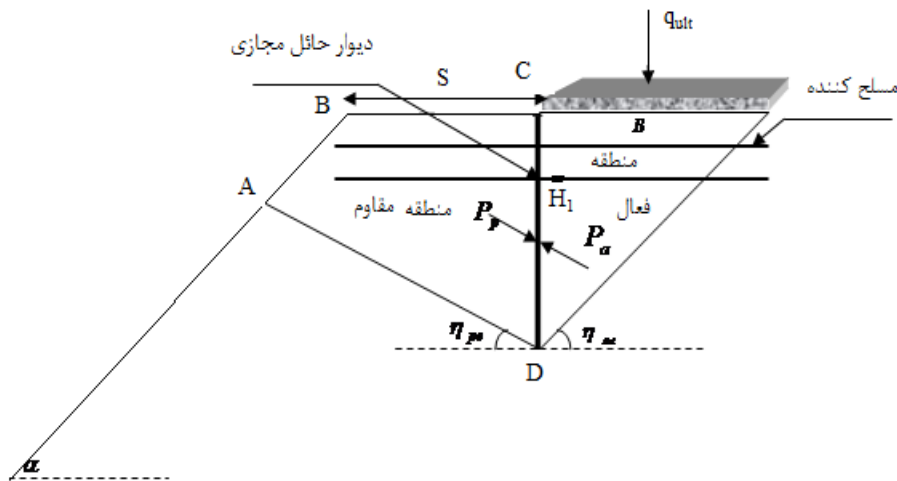
در این تحقیق، روش تحلیلی برای تعیین ظرفیت باربری پی در موقعیت‌های مختلف نسبت به زمین شیب‌دار ارائه شده‌است. روابط ارائه شده براساس پایداری خاک زیر پی می‌باشند؛ به این معنی که فرض می‌شود شیب پایدار است و مسئله لغزش وجود ندارد. روش تحلیلی به کار رفته دیوار حائل مجازی می‌باشد. همان‌طور که در شکل (۲) دیده می‌شود، یک دیوار حائل فرضی در لبه پی و نزدیک به تاج شیب تصور می‌شود. این دیوار فشار فعال،  $P_a$ ، حاصل از بار پی و خاک زیر پی را تحمل می‌کند. از طرف دیگر خاک اطراف، در سمت چپ دیوار (ناحیه شیب زمین)، در شرایط مقاوم قرار می‌گیرد و نیروی مقاوم  $P_p$  را به دیوار وارد می‌کنند. نیروهای فعال و مقاوم وارد بر دیوار مجازی از روش کولمب محاسبه می‌شوند. در نهایت با برابر قرار دادن نیروهای فعال و مقاوم وارد بر دیوار می‌توان ظرفیت باربری پی در موقعیت‌های مختلف نسبت به زمین شیب‌دار را محاسبه کرد.

روش‌های دیگر نتایج نشان می‌دهد که این روش کمترین ظرفیت باربری لرزه‌ای را به دلیل در نظر گرفتن سطح گسیختگی بحرانی نتیجه می‌دهد [9].

شیا و همکاران با استفاده از روش المان محدود پایداری پی واقع بر زمین شیب‌دار متشکل از خاک چسبنده را بررسی کردند [10]، در این مطالعه، پایداری خاک زیر پی و زمین شیب‌دار با هم مورد بررسی قرار گرفته‌است. نتایج نشان داد که مقدار بحرانی برای نسبت مقاومت  $c_u / \gamma B$  وجود دارد که مرز بین گسیختگی خاک زیر پی و گسیختگی شیب می‌باشد. این نسبت بحرانی پارامتر مهمی در طراحی پی در مجاورت شیب می‌باشد.

به همین ترتیب محققانی از قبیل بوهان و همکاران، شیلد و همکاران، سارما و همکاران، سواف و همکاران، هوانگ و همکاران و سلوادوری و همکاران در مورد ظرفیت باربری پی واقع بر شیب تحقیقاتی انجام دادند [11-16]. همچنین کستلی و همکاران با مدل‌سازی آزمایشگاهی، ظرفیت باربری شیب در موقعیت‌های مختلف را نسبت به زمین شیب‌دار تعیین و تأثیر نسبت فاصله پی از تاج شیب نسبت به عرض پی را بررسی کردند. نتیجه گرفته شده از این تحقیق این است که با افزایش زاویه اصطکاک خاک فاصله مؤثر از تاج شیب که از آن بیشتر شیب بر ظرفیت باربری تأثیر ندارد، به صورت قابل توجه افزایش می‌یابد [17].

معمولاً برای بررسی ظرفیت باربری در زمین‌های شیب‌دار از روابط تحلیلی ارائه شده توسط مایرهورف، هانسن، و سیک و ساران استفاده می‌شود، [1-5] که به دلیل تجربی بودن ضرایب، تقریب بالایی دارند و در بسیاری موارد اقتصاد طرح را تحت تأثیر قرار می‌دهند و گاهی اوقات ممکن است حاشیه ایمنی مورد نیاز را تأمین نکنند. به این ترتیب نیاز به رابطه تحلیلی که



شکل ۲ مکانیزم گسیختگی خاک زیر پی واقع بر زمین شیب‌دار از روش دیوار حائل مجازی

$$P_{pweight} = \left( \frac{H_1}{2} (S+S) + \left( \frac{H_1}{\tan \alpha} \right) \right) - \frac{H_1 \tan \eta_{pe} + S \tan \eta_{pe}}{\frac{1 + \frac{\tan \eta_{pe}}{\tan \alpha}}{1 + \frac{\tan \eta_{pe}}{\tan \alpha}}} \left( S + \frac{H_1}{\tan \alpha} \right) 0.5 \gamma / \cot(\eta_{pe} + \phi) \left( \frac{1}{\frac{\sin \delta}{\cot(\eta_{pe} + \phi)} + \cos \delta} \right) \quad (2)$$

که  $\alpha$ : زاویه شیب زمین و  $S$ : فاصله پی از تاج شیب است. به این ترتیب زاویه شیب زمین، فاصله پی از تاج شیب، زاویه اصطکاک و وزن مخصوص خاک، بر  $P_{pweight}$  و در نتیجه ظرفیت باربری پی تأثیر می‌گذارند. به همین ترتیب نیروی فعال ناشی از وزن خاک وارد بر دیوار حائل از روش کولمب مطابق رابطه زیر تعیین می‌شود:

$$P_{aweight} = \frac{1}{2} K_a \gamma H_1^2 \quad (3)$$

در شرایطی که پی بر شیب واقع شود تأثیر شیب زمین بر نیروی فعال وارد بر دیوار هم دیده می‌شود و مشابه نیروی مقاوم، نیروی فعال هم از تعادل سطح گسیختگی فعال تعیین می‌شود.

هم‌چنین نیروی مقاوم و فعال ناشی از چسبندگی خاک با استفاده از روش کولمب از رابطه زیر تعیین می‌شود:

باتوجه به این که شیب زمین بر وزن خاک موجود در ناحیه مقاوم و در نتیجه نیروی مقاوم ناشی از وزن خاک تأثیر می‌گذارد، با استفاده از تعادل نیروهای وارد بر سطح گسیختگی مقاوم ABCD در شکل (۲) که شامل وزن سطح گسیختگی، نیروی وارد از خاک اطراف و نیروی وارد از دیوار حائل مجازی  $P_{pweight}$  می‌باشد، نیروی مقاوم ناشی از وزن خاک وارد بر دیوار حائل از رابطه زیر تعیین می‌شود (شکل ۲):

$$P_{pweight} = \frac{\frac{W_1}{\cot(\eta_{pe} + \phi)}}{\frac{\sin \delta}{\cot(\phi + \eta_{pe})} + \cos \delta} \quad (1)$$

که  $W_1$ : وزن خاک در ناحیه مقاوم در واحد یک متر است و با محاسبه مساحت چهارضلعی ABCD و ضرب در وزن مخصوص خاک به دست می‌آید،  $\eta_{pe}$ : زاویه گوه گسیختگی مقاوم با افق است که از روش کولمب محاسبه می‌شود و به زاویه اصطکاک خاک بستگی دارد و  $\delta$ : زاویه نیروی  $P_{pweight}$  با افق (زاویه اصطکاک بین دیوار و خاک) است. با جای‌گذاری  $W_1$  در رابطه (۵) نتیجه می‌شود:

هم برابر  $P_{\text{structure}} = H_1 K_a q_{\text{ult}}$  است. در نهایت برای ایجاد تعادل دیوار حائل مجازی، نیروهای فعال و مقاوم وارد بر آن باید برابر قرار داده شوند، به این ترتیب ظرفیت باربری پی در موقعیت‌های مختلف نسبت به زمین شیب‌دار مطابق رابطه زیر تعیین می‌شود:

$$\begin{aligned} P_{\text{structure}} + P_{\text{acohesion}} + P_{\text{aweight}} + P_{\text{arein}} \\ = P_{\text{pweight}} + P_{\text{pcohesion}} \\ + P_{\text{psurcharge}} + P_{\text{prein}} \\ q_{\text{ult}} = (P_{\text{pweight}} + c(K_{\text{pc}} H_1 + K_{\text{ac}} H_1) + \\ \gamma(1-k)(K_p D \frac{S}{1} H_1 - \frac{1}{2} K_a H_1^2) + \\ (c + \gamma(1-k)H_1 \tan(\frac{2}{3}\phi))(I_{\text{activerain}} + I_{\text{passiverain}}))(\frac{1}{K_a H_1}) \end{aligned} \quad (7)$$

که  $q_{\text{ult}}$ : ظرفیت باربری پی،  $P_{\text{pweight}}$ : نیروی مقاوم ناشی از وزن خاک وارد بر دیوار مجازی است که در رابطه (۱) محاسبه شده است. لازم به ذکر است که تأثیر ضریب افقی و قائم لرزه‌ای بر ظرفیت باربری پی در ضرایب  $K_{\text{pc}}, K_{\text{ac}}, K_p, K_a$  که از روش کولمب به دست می‌آیند، تعیین می‌شود. هم‌چنین همان‌طور که در رابطه (۷) دیده می‌شود، ضریب لرزه‌ای قائم باعث کاهش وزن مخصوص خاک می‌شود. در رابطه (۷) تأثیر عرض پی در پارامتر  $H_1$  که ارتفاع دیوار حائل مجازی و برابر  $B \tan \eta_{\text{ae}}$  می‌باشد، محاسبه می‌شود و تأثیر فاصله پی از تاج شیب و شیب زمین در جمله مربوط به سربار ناشی از عمق پی و  $P_{\text{pweight}}$  دیده می‌شود. به همین ترتیب تأثیر زاویه اصطکاک خاک در ضرایب  $K_{\text{pc}}, K_{\text{ac}}, K_p, K_a$  و هم‌چنین پارامتر  $H_1$  و زاویه سطوح گسیختگی مقاوم و فعال با افق و در نتیجه نیروی مقاوم  $P_{\text{pweight}}$  به دست می‌آید. لازم به ذکر است که شیب زمین بر ضرایب  $K_p, K_a$  که از رابطه کولمب به دست می‌آیند نیز تأثیر می‌گذارد. در تحقیق حاضر، تحلیل ظرفیت باربری پی در موقعیت‌های مختلف پی نسبت به

$$P_{\text{acohesion}} + P_{\text{pcohesion}} = cK_{\text{pc}} H_1 + cK_{\text{ac}} H_1 \quad (4)$$

در این مرحله نیروی مقاوم افقی ناشی از سربار  $\gamma D$  وارد بر دیوار حائل مجازی (با در نظر گرفتن پی واقع بر بالای شیب زمین) تعیین می‌شود. توجه به این نکته لازم است که شیب زمین بر نیروی افقی ناشی از سربار  $\gamma D$  تأثیر می‌گذارد. برای محاسبه نیروی مقاوم ناشی از سربار فشار ناشی از سربار  $\gamma D$  در نسبت فاصله افقی پی تا تاج شیب ( $S$ ) به کل طول ناحیه مقاوم پی مورد نظر ( $I = \frac{H_1}{\tan \eta_{\text{pe}}}$ ) ضرب می‌شود (شکل ۵) و به این ترتیب با افزایش فاصله پی از تاج شیب،  $S$  تغییر کرده و تأثیر فاصله پی بر نیروی افقی ناشی از سربار دیده می‌شود. در نهایت نیروی افقی مقاوم ناشی از سربار وارد بر دیوار حائل مجازی به صورت زیر به دست می‌آید:

$$P_{\text{psurcharge}} = \gamma D \frac{S}{1} K_p H_1 \quad (5)$$

که پارامترهای  $S, H_1$  در شکل (۵) نشان داده شده‌اند. ذکر این نکته لازم است که در شرایطی که پی واقع بر زمین شیب‌دار باشد، از نیروی مقاوم ناشی از عمق پی صرف نظر می‌شود.

در این مرحله تأثیر خاک مسلح بر ظرفیت باربری پی از روش دیوار حائل مجازی بررسی می‌شود و نیروی افقی ناشی از مسلح‌کننده خاک (وارد بر دیوار حائل مجازی) در ناحیه فعال و مقاوم محاسبه می‌شود. به این ترتیب که مقاومت برشی خاک در طولی از مسلح‌کننده که در ناحیه مقاوم و فعال وجود دارند، ضرب می‌شود و مجموع نیروی افقی مقاوم و فعال ناشی از مسلح‌کننده خاک مطابق رابطه زیر به دست می‌آید:

$$P_{\text{arein}} + P_{\text{prein}} = (c + \gamma H_1 \tan(\frac{2}{3}\phi))(I_{\text{acterein}} + I_{\text{passverein}}) \quad (6)$$

که  $I_{\text{acterein}}$ : طول مسلح‌کننده در منطقه فعال خاک و  $I_{\text{passverein}}$ : طول مسلح‌کننده در منطقه مقاوم خاک می‌باشد. به همین ترتیب نیروی فعال ناشی از بار سازه

می‌باشد. نتایج نشان می‌دهد که با استفاده از روش حاضر وقتی پی بالای شیب قرار می‌گیرد، ظرفیت باربری از شرایطی که پی پایین شیب و روی شیب واقع شود، بیشتر می‌شود. زیرا در شرایطی که پی بر بالای شیب واقع شده‌است، نیروی فعال وارد بر دیوار مجازی (به دلیل کاهش وزن خاک در منطقه فعال) نسبت به سایر موقعیت‌ها کمتر می‌باشد و همین عامل باعث افزایش ظرفیت باربری پی در موقعیت بالای شیب می‌شود. هم‌چنین ظرفیت باربری پی واقع بر شیب از موقعیت‌های دیگر پی نسبت به زمین شیب‌دار کمتر است. زیرا در این شرایط نسبت به موقعیت‌های دیگر نیروی فعال وارد بر دیوار مجازی افزایش و نیروی مقاوم کاهش می‌یابد و همین عامل باعث کاهش ظرفیت باربری پی واقع بر شیب می‌شود.

ذکر این نکته لازم است که موقعیت پی نسبت به شیب بر نیروی فعال و مقاوم وارد بر دیوار حائل تأثیر می‌گذارد و این عامل باعث تفاوت ظرفیت باربری در موقعیت‌های مختلف نسبت به زمین‌های شیب‌دار می‌شود. همان‌طور که در شکل (الف-6) دیده می‌شود، مایهوف ظرفیت باربری پی واقع بر شیب و بالای شیب را ارائه کرده‌است [1,2]. ظرفیت باربری پی از روش تحلیلی مایهوف بیشتر از روش‌های دیگر است. هم‌چنین ساران ظرفیت باربری پی واقع بر بالای شیب را محاسبه کرده‌است [5]، نتایج نشان می‌دهد که ظرفیت باربری روش ساران در مورد پی واقع بر بالای شیب نزدیک به ظرفیت باربری پی از روش حاضر است. در مورد پی واقع بر شیب نیز ظرفیت باربری از روش چالدهری به روش پیشنهادی خیلی نزدیک می‌باشد. هم‌چنین هانسن ظرفیت باربری پی واقع بر شیب را ارائه کرده‌است و همان‌طور که در شکل (الف-3) دیده می‌شود، نتیجه ارائه شده توسط هانسن به‌طور قابل توجهی از سایر روش‌ها کمتر می‌باشد و این نتیجه نشان

زمین شیب‌دار با استفاده از برنامه‌نویسی در محیط MATLAB انجام شده‌است و تأثیر پارامترهای مختلف بر ظرفیت باربری (رابطه 7) بررسی می‌شود. در واقع از نوآوری‌های این مقاله ارائه رابطه کلی برای تعیین ظرفیت باربری است که به‌طور خاص تأثیر فاصله پی از تاج شیب، موقعیت پی نسبت به شیب، زاویه شیب، وجود مسلح‌کننده در شیب و زیر پی و ضرایب لرزه‌ای را بررسی می‌کند. هم‌چنین در این رابطه تأثیر فاصله پی از بالای شیب بر نیروی افقی ناشی از عمق پی دیده شده‌است و از طرفی این رابطه برای هر دو نوع خاک چسبنده و غیرچسبنده قابل قبول می‌باشد.

### نتایج و مباحث

در این قسمت نتایج به‌دست آمده از روش تحلیلی حاضر ارائه می‌شود و تأثیر موقعیت‌های مختلف پی نسبت به زمین شیب‌دار، فاصله پی نسبت به زمین شیب‌دار و عمق و عرض پی بر ظرفیت باربری پی بررسی می‌شود. در ابتدا، نتایج روش پیشنهادی با روش‌های ارائه شده توسط دیگر محققان مقایسه و سپس تأثیر پارامترهای مختلف بر ظرفیت باربری پی با استفاده از رابطه (7) بررسی می‌شود. در موارد بررسی شده در این تحقیق شیب زمین 30 درجه در نظر گرفته شده‌است و فرض می‌شود که شیب پایدار باشد؛ به این ترتیب ظرفیت باربری پی براساس خرابی خاک زیر پی محاسبه شده‌است.

### مقایسه روش حاضر با روش‌های تحلیلی

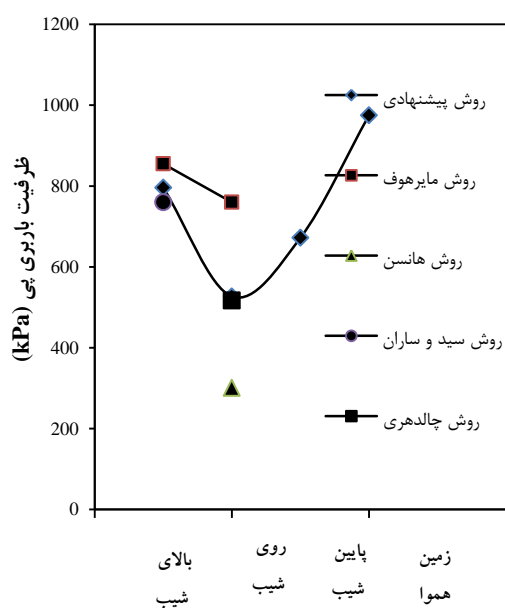
#### ارائه شده در گذشته

در این قسمت ظرفیت باربری پی از روش حاضر با روش‌های ارائه شده در گذشته در شرایط خاک غیرچسبنده مقایسه می‌شود (شکل الف-3). فرض می‌شود که زاویه اصطکاک خاک برابر 35 درجه

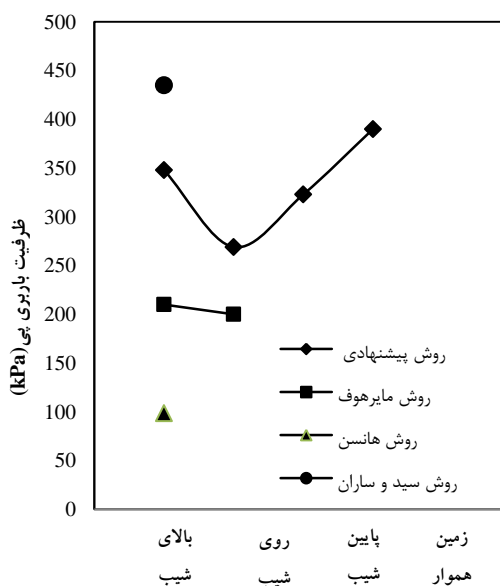
روش‌های مختلف نسبت به خاک‌های غیرچسبنده تفاوت بیشتری دارند. همان‌طور که در شکل (ب-۳) دیده می‌شود، در شرایط پی واقع بر زمین شیب‌دار ظرفیت باربری پی از روش ساران بیشتر از روش‌های دیگر می‌باشد و ظرفیت باربری روش حاضر بین روش‌های ساران و مایرهوف قرار می‌گیرد [1,5]. درکل، همان‌طور که در شکل‌های (الف-۳) و (ب-۳) دیده می‌شود، روش هانسن در مورد خاک‌های چسبنده و غیرچسبنده نسبت به روش‌های دیگر کمترین ظرفیت باربری را نتیجه می‌دهد. هم‌چنین مقایسه نتایج حاصل از روش پیشنهادشده با نتایج روش‌های دیگر در خاک‌های چسبنده و غیرچسبنده قابل قبول بودن این روش را نشان می‌دهد.

می‌دهد که این روش نسبت به سایر روش‌ها محافظه‌کارانه‌تر است. از طرف دیگر نتایج نشان می‌دهد که درکل ظرفیت باربری پی از روش پیشنهادشده بین ظرفیت باربری به‌دست‌آمده از روش‌های دیگر قرار دارد.

در شکل (ب-۳) ظرفیت باربری پی واقع بر خاک چسبنده از روش پیشنهادشده با روش‌های دیگر مقایسه شده است. فرض می‌شود که در خاک مورد بررسی زاویه اصطکاک برابر ۲۰ درجه و چسبندگی برابر  $kPa$  ۲۰ می‌باشد. نتایج نشان می‌دهد که در مورد خاک چسبنده هم، ظرفیت باربری پی از روش حاضر به روش‌های دیگر نزدیک است. ولی مقایسه نتایج در خاک چسبنده و خاک غیرچسبنده تاحدی متفاوت است و در خاک‌های چسبنده نتایج ظرفیت باربری پی از



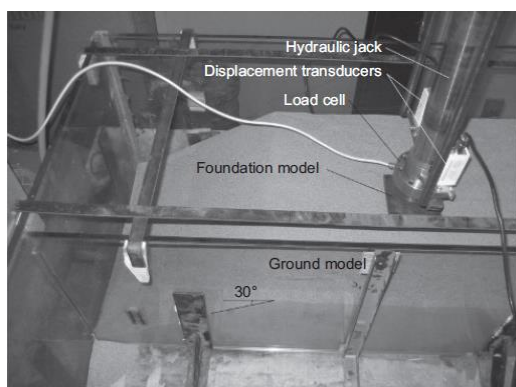
(الف)



(ب)

شکل ۳ مقایسه روش حاضر با دیگر روش‌ها در موقعیت‌های مختلف پی نسبت به زمین شیب‌دار، (الف) خاک غیرچسبنده (زاویه اصطکاک خاک = ۳۵ درجه) و (ب) خاک چسبنده (زاویه اصطکاک خاک = ۲۰ درجه و چسبندگی =  $kPa$  ۲۰)

ساخته شده وارد می‌شود. بارهای منتقل شده به پی مورد آزمایش، توسط ایجاد حلقه بین جک و پی به‌دقت کنترل می‌شوند. پی‌ها تا زمانی بارگذاری می‌شوند که به ظرفیت باربری نهایی برسند و گسیختگی در خاک ایجاد شود (شکل ۵).



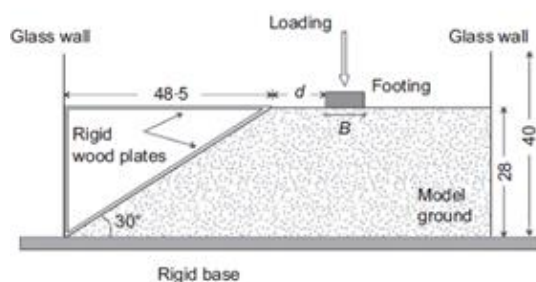
شکل ۵ مدل واقعی بارگذاری پی واقع بر زمین شیب‌دار [17]

دانسیتته خاک ماسه‌ای که در آزمایش به‌کار رفته‌است برابر ۸۷ درصد، زاویه اصطکاک خاک ۳۸ درجه و وزن مخصوص آن ۱۷/۵ کیلونیوتن بر مترمکعب می‌باشد. نتایج آزمایشگاهی، با تغییر عرض پی و فاصله آن از لبه شیب در جدول (۱) آورده شده‌است. همان‌طور که در جدول (۱) نشان داده شده‌است، عرض پی با  $B$ ، فاصله پی از شیب با  $S$  و ظرفیت باربری آزمایشگاهی با  $q_{ult}$  مشخص شده‌است.

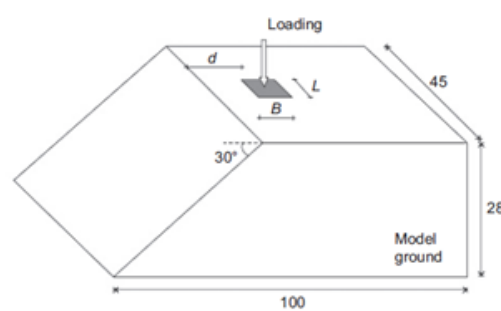
هم‌چنین کستلی و موتناده مدل عددی و مدل آزمایشگاهی برای به‌دست آوردن فاصله مؤثر از تاج شیب که بر ظرفیت باربری پی تأثیر می‌گذارد، ارائه کردند [18-20]. مدل تحلیل عددی بر پایه تعادل حدی و مرز بالای بار حدی پی سطحی ارائه شده‌است. بیشترین کاهش ظرفیت باربری در شرایطی که پی در لبه شیب قرار می‌گیرد، به‌دست می‌آید.

### مقایسه روش تحلیلی پیشنهادی با روش‌های آزمایشگاهی و عددی ارائه‌شده در گذشته

کستلی و همکاران مدل آزمایشگاهی پی واقع بر زمین شیب‌دار را ارائه دادند و ظرفیت باربری پی را در موقعیت‌های مختلف نسبت به زمین شیب‌دار به‌دست آوردند [17]. برای تحلیل رفتار پی‌های سطحی واقع بر شیب یک سری آزمایش بارگذاری روی مدل‌های پی مربعی و نواری واقع بر خاک ماسه‌ای انجام گرفته‌است (شکل ۴). این پی‌ها از جنس فولاد هستند و بارگذاری به‌صورت عمودی در مرکز پی انجام شده‌است. عرض پی مربعی ۶، ۸ و ۱۰ سانتی‌متر و عرض پی نواری ۴ و ۶ سانتی‌متر در نظر گرفته شده‌است. در همه آزمایش‌ها پی بر خاک ماسه‌ای قرار گرفته‌است.



(الف)



(ب)

شکل ۴ مدل آزمایشگاهی ارائه‌شده توسط کستلی و همکاران [17]

برای بررسی ظرفیت باربری پی‌های سطحی در مجاورت شیب، بارگذاری در جعبه مکعب آزمایش که شامل ماسه متراکم شده‌است، انجام می‌شود و بار عمودی استاتیکی با به‌کار بردن جک هیدرولیک بر پی



جدول ۱ مقایسه ظرفیت باربری پی در فواصل مختلف نسبت به زمین‌های شیب‌دار به ظرفیت باربری پی واقع بر زمین هموار از سه روش (زاویه اصطکاک ۴۰ درجه)

			کستلی و همکاران آزمایشگاهی	روش تحلیلی ارائه‌شده در مطالعه حاضر	کستلی و همکاران عددی
B (cm)	S (cm)	B/S	$Q_{ult}(\text{slope})/Q_{ult}(\text{flat})$	$Q_{ult}(\text{slope})/Q_{ult}(\text{flat})$	$Q_{ult}(\text{slope})/Q_{ult}(\text{flat})$
۴	۱۴	۰/۲۹	۰/۷۱	۰/۷۸	۱
۶	۲۷	۰/۲۲	۰/۷۷	۰/۸۶	۱
۶	۱۳	۰/۴۶	۰/۵	۰/۶۱	۰/۷۵

نسبت به زمین شیب‌دار نشان داده شده است.  $q/q_{wos}$  نشان‌دهنده نسبت ظرفیت باربری پی در موقعیت‌های مختلف نسبت به زمین شیب‌دار به ظرفیت باربری پی واقع بر زمین هموار می‌باشد. نتایج نشان می‌دهد که در عمق‌ها و عرض‌های مختلف پی، به ترتیب ظرفیت باربری پی واقع بر زمین هموار، بالای شیب، پایین شیب و واقع بر شیب بزرگ‌تر می‌باشد. هم‌چنین با افزایش نسبت عمق به عرض پی، تأثیر شیب زمین بر ظرفیت باربری پی در موقعیت‌های مختلف آن نسبت به شیب کاهش می‌یابد. کاهش تأثیر شیب بر ظرفیت باربری پی با افزایش عمق پی در موقعیت بالا و پایین شیب بیشتر از روی شیب می‌باشد. درحقیقت، تأثیر عمق پی بر ظرفیت باربری بیشتر از شیب زمین می‌باشد؛ به‌عنوان مثال در شرایط وجود پی در بالای شیب و  $D/B=0$  وجود شیب باعث کاهش ظرفیت باربری به میزان ۶۰ درصد می‌شود. در حالی که در شرایط  $D/B=2$  مقدار کاهش تقریباً ۱۰ درصد است. با افزایش عمق پی نیروی مقاوم به‌طور قابل‌توجهی افزایش می‌یابد و باعث افزایش ظرفیت باربری پی و کاهش تأثیر شیب زمین می‌شود. وقتی پی روی شیب واقع شود، نیروی فعال افزایش و نیروی مقاوم کاهش می‌یابد و همین عامل باعث کاهش ظرفیت باربری پی واقع بر شیب نسبت به ظرفیت باربری پی در موقعیت‌های دیگر نسبت به شیب می‌شود. هم‌چنین همان‌طور که در شکل (۲) دیده می‌شود، وقتی پی پایین شیب واقع شود، نیروی فعال و مقاوم نسبت به پی واقع

نتایج تحلیل آزمایشگاهی کستلی و همکاران نشان می‌دهد که با افزایش زاویه اصطکاک، فاصله مؤثر از تاج شیب افزایش می‌یابد. هم‌چنین از جمله نتایج دیگر این است که فاصله مؤثر به زاویه شیب زمین بستگی دارد، در حالی که عمق پی بر این فاصله مؤثر به‌طور مشخص تأثیر نمی‌گذارد. نتایج عددی گزارش‌شده توسط کستلی و همکاران نشان می‌دهد که در صورتی که نسبت فاصله پی از شیب به عرض پی تقریباً از ۲ بیشتر شود، شیب تأثیری بر ظرفیت باربری پی نمی‌گذارد. در حالی که جدول (۱) نشان می‌دهد که فاصله مؤثر پی از شیب در روش تحلیلی ارائه‌شده در مطالعه حاضر و روش آزمایشگاهی ارائه‌شده توسط کستلی و همکاران بیشتر از فاصله مؤثر در روش عددی کستلی و همکاران است و حدود ۴/۵ می‌شود.

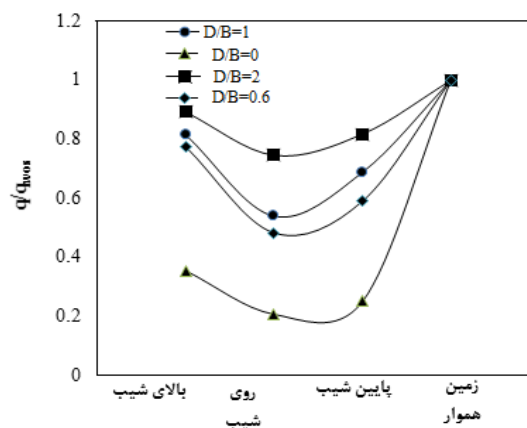
### مطالعات پارامتریک

در این بخش، تأثیر پارامترهای مختلف بر ظرفیت باربری پی (رابطه ۷) بررسی می‌شود. باید ذکر شود که موقعیت‌های مختلف پی نسبت به سطح زمین بر وزن خاک در ناحیه گسیختگی مقاوم و فعال تأثیر می‌گذارد و در نتیجه نیروی مقاوم و فعال وارد بر دیوار حائل را تغییر می‌دهد.

تأثیر عمق و عرض پی. در شکل (۶) تأثیر عمق و عرض پی بر ظرفیت باربری در موقعیت‌های مختلف

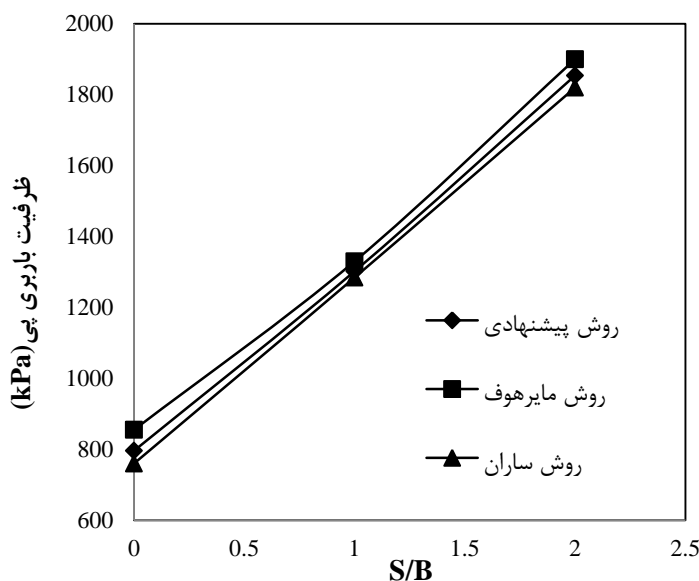
ساران مقایسه می‌شود (شکل ۷). نتایج نشان می‌دهد که در روش حاضر، با افزایش  $S$  (فاصله پی از تاج شیب)، وزن خاک موجود در ناحیه مقاوم و در نتیجه نیروی مقاوم و ظرفیت باربری پی افزایش می‌یابد. همان‌طور که در شکل (۷) دیده می‌شود، ظرفیت باربری پی از روش حاضر در فواصل مختلف پی از تاج شیب به نتایج حاصل از روش مایرهوف و ساران نزدیک می‌باشد. نمودار (۷) نشان می‌دهد که روش مایرهوف ظرفیت باربری بالاتر و روش ساران ظرفیت باربری پایین‌تر را نتیجه می‌دهد و ظرفیت باربری پی از روش حاضر بین این دو روش قرار دارد. همان‌طور که در نتایج دیده می‌شود، با افزایش  $S/B$  به ۲، ظرفیت باربری از روش پیشنهادی تقریباً ۲ برابر شده‌است. بنابراین پارامتر فاصله پی از شیب تأثیر قابل توجه بر ظرفیت باربری پی دارد. به این ترتیب نتایج نشان می‌دهد که روش ارائه‌شده در تحقیق حاضر برای تعیین ظرفیت باربری پی در موقعیت‌های مختلف نسبت به زمین شیب‌دار قابل قبول می‌باشد.

بر بالای شیب افزایش می‌یابد. افزایش نیروی فعال باعث می‌شود که ظرفیت باربری پی واقع بر پایین شیب کمتر از ظرفیت باربری پی واقع بر بالای شیب شود.



شکل ۶ تأثیر نسبت عمق به عرض پی بر ظرفیت باربری در موقعیت‌های مختلف نسبت به زمین شیب‌دار در خاک‌های غیرچسبنده (زاویه اصطکاک = ۳۵ درجه و زاویه شیب زمین = ۳۰ درجه)

**تأثیر فاصله پی نسبت به تاج شیب ( $S$ ). در این بخش، ظرفیت باربری پی واقع بر بالای شیب از روش پیشنهادی با نتایج به‌دست‌آمده از روش مایرهوف و**



شکل ۷ مقایسه تأثیر فاصله پی از تاج شیب بر ظرفیت باربری از روش حاضر و روش‌های تحلیلی مایرهوف و ساران [1,5]

## نتایج

روش تحلیلی حاضر، موقعیت پی نسبت به زمین شیب‌دار بر نیروی مقاوم و فعال وارد بر دیوار حائل مجازی و در نتیجه ظرفیت باربری پی تأثیر می‌گذارد. ۳. با افزایش نسبت عمق به عرض پی، ظرفیت باربری پی در موقعیت‌های مختلف نسبت به زمین شیب‌دار به ظرفیت باربری پی واقع بر زمین هموار نزدیک می‌شود. این تأثیر مخصوصاً در شرایط پی واقع بر بالا و پایین شیب قابل توجه است. ۴. به‌طور کلی مقایسه روش حاضر برای تعیین ظرفیت باربری پی در موقعیت‌های مختلف نسبت به زمین شیب‌دار با نتایج روش‌های آزمایشگاهی و تحلیلی ارائه‌شده در گذشته نشان‌دهنده قابل قبول بودن این روش است.

## قدردانی

بدین وسیله نویسنده مقاله از دانشگاه آزاد واحد اسلامشهر به دلیل حمایت‌های مالی از پروژه حاضر کمال تشکر و قدردانی را دارد.

در مقاله حاضر، روش تحلیلی دیوار حائل مجازی به منظور تعیین ظرفیت باربری پی در موقعیت‌های مختلف نسبت به زمین شیب‌دار ارائه شده و تأثیر ویژگی‌های پی (عمق و عرض پی)، فاصله پی نسبت به تاج شیب بر ظرفیت باربری پی بررسی شده است. در نهایت نتایج روش ارائه‌شده با روش‌های تحلیلی، آزمایشگاهی و عددی ارائه‌شده در گذشته مقایسه شده و نتایج قابل قبولی به دست آمده است. نتایج زیر از تحقیق حاضر به دست آورده شد:

۱. فاصله مؤثر پی از تاج شیب که بیشتر از آن تأثیر شیب بر ظرفیت باربری پی از بین می‌رود، از روش حاضر حدود  $4/5$  برابر عرض پی می‌باشد. هم‌چنین با افزایش نسبت فاصله پی از تاج شیب به عرض آن به ۲، ظرفیت باربری از روش پیشنهادی تقریباً ۲ برابر شده است.
۲. در عمق‌ها و عرض‌های مختلف پی، به ترتیب ظرفیت باربری پی واقع بر زمین هموار، بالای شیب، پایین شیب و واقع بر شیب بزرگ‌تر می‌باشد. براساس

## مراجع

1. Meyerhof, G. G., "Some Recent Research on the Bearing Capacity of Foundations", *Canadian Geotechnical Journal*, Vol.1(1), pp. 16-27, (1963).
2. Meyerhof, G. G., "The Ultimate Bearing Capacity of Foundations on Slopes", *Proceeding of IV International Conference on Soil Mech. Found. Eng.*, Vol.1, London, England, pp. 384-390, (1957).
3. Hansen, J. B., "A Revised and Extended Formula for Bearing Capacity", Bulletin 28.Copenhagen, Danish Geotechnical Institute, (1970).
4. Vesic, A. S., "Bearing Capacity of Shallow Foundations", *Foundation Engineering Handbook*, ed. H. F. Winterkorn and H. Y. Fang, 121. New York: Van Nostrand Reinhold Co, (1975).
5. Saran, S., Sud, V.K. and Handa, S. C., "Bearing Capacity of Footings Adjacent to Slopes", *Journal of Geotechnical Engineering*, ASCE, Vol. 115(4), pp. 553-564, (1989).
6. Bransby MF., Davidson C., "The Effect of Foundation Fixity on Their Capacity Adjacent to Slopes", *Proceedings of the BGA International Conference on Foundations*, Dundee, Scotland IHS BRE Press, (2008).

7. Gemperline, M. C., "Centrifuge Modeling of Shallow Foundations", in Proceeding ASCE Spring Convention, (1988).
8. Graham, J., Andrews. M., and Shields. D.H., "Stress Characteristics for Shallow Footings in Cohesionless Slopes", *Canadian Geotechnical Journal*, Vol. 25(2), pp. 238-245, (1988).
9. Choudhury, D and Rao, S., "Seismic Bearing Capacity of Shallow Strip Footings Embedded in Slope", *International Journal of Geomechanics*, pp. 176-184, (2006).
10. Shiau, S, Merifield, R. S , Lyamin, A. V. and Sloan, A. W., "Undrained Stability of Footings", *International Journal of Geomechanics*, pp. 381-390, (2011).
11. De Buhan, P., and Garnier, D, "Three Dimensional Bearing Capacity Analysis of a Foundation Near a Slope", *Soils Foundation Journal*, Vol. 38( 3), pp. 153–16, (1998).
12. Shields, D., Chandler, N., and Garnier, J., "Bearing Capacity of Foundations in Slopes", *Journal of Geotechnical Engineering*, Vol. 116(3), pp. 528–537, (1990).
13. Sawwaf., M., "Behaviour of Strip Footing on Geogrid Reinforced Sand over a Soft Clay Slope", *Geotextiles and Geomembranes*, Vol. 25, pp. 50-60, (2007).
14. Huang C.C and Tatsuoka .F & Sato., "Failure Mechanisms of Reinforced Sand Slopes Loaded with a Footing", *Soils and Foundations Journal*, Vol. 34(2), pp. 27-40, (1994).
15. Selvadurai and Gnanendran C. T., "Bearing Capacity of Foundation Near Slopes with Multi Layers of Geosynthetic", *Indian Geotechnical Conference*, pp. 14 -16, (2006).
16. Sarma, S. and Chen, Y.C., "Seismic Bearing Capacity of Shallow Strip Footings Near Sloping Ground", *5<sup>th</sup> conference of European Seismic Design Practice*, Research and Application, ed. Elnashai., Chester, UK, AA Balkema, Rotterdam, pp. 505-512, (1995).
17. Castelli, F. and Lentini, V., "Evaluation of the Bearing Capacity of Footings on Slopes", *International Journal of Physical Modelling in Geotechnics*, Vol. 12(3), pp. 112–118, (2012).
18. Castelli, F and Lentini, V., "Bearing Capacity of Shallow Foundations on Slope", *Physical Modelling in Geotechnics*, Balkema, Rotterdam, the Netherlands, pp. 685–690, (2010).
19. Castelli, F and Motta, E., "Bearing Capacity of Shallow Foundations Near Slopes: Static Analysis." *Foundations Proceedings of the 2nd International British Geotechnical Association Conference on Foundations*, BRE Press, Watford, UK, Vol. 1, pp. 1651–1662, (2008).
20. Castelli, F and Motta, E., "Bearing Capacity of Strip Footings Near Slopes", *Journal Geotechnical and Geological Engineering*, Vol. 28(2), pp. 187–198, (2010).